

## 1 PRORAČUN PLOČE POS 102

- varijanta: ploča direktno oslonjena na stubove i ivične grede -

Dimenzionisati ploču oslonjenu na 4 stuba visine 4.0 m i ivične grede. Ploča je, pored sopstvene težine, opterećena i dodatnim stalnim opterećenjem  $\Delta g = 2 \text{ kN/m}^2$  i povremenim opterećenjem  $p = 8 \text{ kN/m}^2$ , koja deluju po čitavoj površini ploče. Usvojeni kvalitet materijala: MB 35, RA 400/500.

### 1.1 USVAJANJE DEBLJINE PLOČE

Zadržavajući rešenje iz Primera 5, usvaja se  $d_p = 20 \text{ cm}$ .

### 1.2 ANALIZA OPTEREĆENJA

a. stalno opterećenje

- sopstvena težina ploče  $d_p \times \gamma_b = 0.20 \times 25 = 5.0 \text{ kN/m}^2$
- dodatao stalno opterećenje  $\Delta g = 2.0 \text{ kN/m}^2$
- ukupno, stalno opterećenje  $g = 7.0 \text{ kN/m}^2$

b. povremeno opterećenje  $p = 8.0 \text{ kN/m}^2$

### 1.3 PRORAČUN SILA U STUBOVIMA I USVAJANJE DIMENZIJA

Proračun je detaljno opisan u Primeru 5, pa se ovde sprovodi bez ikakvih komentara.

Reakcije srednjih oslonaca kontinualnog nosača na tri polja, odnosno sile u stubovima su:

$$G = 1.1 \times 7.0 \times 5.0 \times 6.0 = 231 \text{ kN} ; P = 1.1 \times 8.0 \times 5.0 \times 6.0 = 264 \text{ kN}$$

$$A_{b,potr.} = \frac{N_u}{f_B \times (1 + \mu_{min})} = \frac{1.9 \times 231 + 2.1 \times 264}{2.3 \times \left(1 + 0.6 \times 10^{-2} \times \frac{40}{2.3}\right)} = 391 \text{ cm}^2$$

Poštjući ostale uslove navedene u Primeru 5 (vitkost, minimalna dimenzija stuba kod ploče direktno oslonjene na stubove), usvajaju se kvadratni stubovi dimenzija  $30 \times 30 \text{ cm}$ .

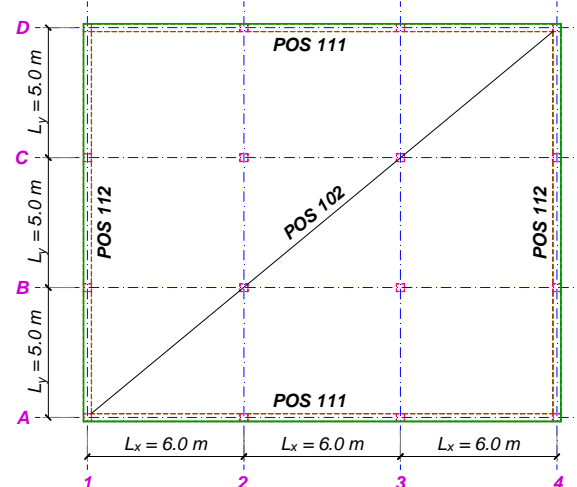
### 1.4 KONTROLA U ODNOSU NA PROBIJANJE

Debljina ploče je zadržana, dok je opterećenje ploče povećano oko 25%, što će rezultirati povećanjem potrebne površine armature za savijanje i (neznatnim) smanjenjem statičke visine. Maksimalni smičući napon usled probijanja će biti određen sa procenjenom vrednošću srednje statičke visine  $h_s$ :

$$h_s = \frac{h_x + h_y}{2} \approx d_p - 4 = 16 \text{ cm} ; d_s = \sqrt{\frac{4}{\pi} \times d^2} = \sqrt{\frac{4}{\pi} \times 30^2} = 33.9 \text{ cm}$$

$$\tau_{max} = \frac{231 + 264}{\pi \times (33.9 + 16) \times 16} = 0.198 \frac{\text{kN}}{\text{cm}^2}$$

Maksimalna vrednost dopuštenog napona smicanja  $t_2$  odgovara maksimalnom procentu armiranja  $\mu = 1.5\%$ :



$$\tau_2 = \gamma_2 \times \tau_b = 0.45 \times 1.3 \times \sqrt{1.5} \times 0.24 = 0.172 \frac{kN}{cm^2} < \tau_{max} = 0.198 \frac{kN}{cm^2}$$

S obzirom na prekoračenje dopuštenog napona od oko 15%, potpuno je bespredmetno redukovati silu G+P za vrednost opterećenja koje deluje unutar konusa probijanja ili raditi proračun prema momentima savijanja u cilju određivanja stvarne statičke visine  $h$ .

Moguća rešenja su:

- povećanje marke betona;
- povećanje dimenzije stuba;
- povećanje debljine ploče, bilo debljine cele ploče ili formiranjem lokalnog zadebljanja (kapitela).

#### 1.4.1 Povećanje marke betona

Kao što je poznato, povećanje marke betona gotovo zanemarljivo utiče na smanjenje potrebne površine armature za savijanje. Takođe, povećanje modula deformacije (odnosno smanjenje ugiba ploče) je neznatno, pa je suštinska korist od prvog rešenja povećanje dopuštenog smičućeg napona  $\tau_b$ . U konkretnom slučaju, zadržavajući maksimalni procenat armiranja u zoni stuba, potrebno je usvojiti:

$$\tau_2 = 0.45 \times 1.3 \times \sqrt{1.5} \times \tau_b = \tau_{max} = 0.198 \frac{kN}{cm^2} \Rightarrow \tau_b \geq \frac{0.198}{0.45 \times 1.3 \times \sqrt{1.5}} = 0.276 \frac{kN}{cm^2}$$

što odgovara MB 45 (član 122 PBAB 87,  $\tau_b = 2.8 \text{ MPa}$ ).

#### 1.4.2 Povećanje dimenzije stuba

Ukoliko se zadrže debljina ploče i marka betona, potrebna dimenzija stuba se dobija kao:

$$\tau_{max} = \frac{231 + 264}{\pi \times (d_s + 16) \times 16} = \tau_{2,max} = 0.172 \frac{kN}{cm^2} \Rightarrow d_s \geq \frac{495}{\pi \times 0.172 \times 16} - 16 = 41.3 \text{ cm}$$

što, za slučaj kvadratnog, odnosno pravougaonog stuba definisane širine  $b=30 \text{ cm}$ , daje:

$$b = d = \sqrt{\frac{\pi}{4} \times d_s^2} = 36.6 \text{ cm} \quad - \text{usvojen stub kvadratnog preseka } 40 \times 40 \text{ cm}$$

$$d = \frac{\pi}{4} \times \frac{d_s^2}{b} = \frac{\pi}{4} \times \frac{41.3^2}{30} = 44.6 \text{ cm} \quad - \text{usvojen stub pravougaonog preseka } 30 \times 45 \text{ cm}^1$$

### 1.5 POVEĆANJE DEBLJINE CELE PLOČE

Dobre strane ovakvog rešenja bi bile zadržavanje jednostavnije oplate i armature, kao i smanjenje potrebne armature u svim presecima u odnosu na ploču gde bi se podebljanje sprovelo samo lokalno. Loša strana je povećanje ukupnog opterećenja, što se može odraziti i na dimenzije vertikalnih elemenata, temelja i veličinu seizmičkih sila. Koje će rešenje biti usvojeno, zavisi i od ukupnog broja tavanica, kao i velikog broja tehnokonomskih pokazatelja koji ovde neće biti razmatrani.

Povećanje debljine ploče će (razumno malo) povećati ukupno opterećenje, a time i momente savijanja u ploči. Istovremeno, statička visina se povećava, što smanjuje potrebnu površinu armature a time i dopušteni smičući napon. Postupak usvajanja debljine ploče je očito iterativan, pa ga je razumno rešavati usvajanjem pojedinih parametara i probanjem:

<sup>1</sup> Voditi računa da se u proračun zamenjujućeg prečnika  $d_s$  može se uzeti maksimalno  $d=1.5 \times b$  ( $b < d$ ), bez obzira na stvarni odnos strana pravougaonog stuba

- zadržavaju se opterećenje, a time i sila proboga i vrednosti momenata savijanja u ploči, da se ne bi licitiralo sa povećanjem ovih vrednosti;
- zadržava se maksimalni procenat armiranja u zoni stuba, a time i maksimalni dopušteni napon smicanja (ovde:  $\tau_2 = 0.172 \text{ kN/cm}^2$ ).

Kako bi povećanje opterećenja bilo što manje, u ovom slučaju se debљina ploče određuje iz dopuštenog napona  $\tau_2$ :

$$\tau_{\max} = \tau_2 = \frac{495}{\pi \times (33.9 + h_s) \times h_s} = 0.172 \frac{\text{kN}}{\text{cm}^2}$$

$$(33.9 + h_s) \times h_s = \frac{495}{\pi \times 0.172} = 916 \Rightarrow h_s = \frac{-33.9 + \sqrt{33.9^2 + 4 \times 916}}{2} = 17.8 \text{ cm}$$

$$h_s = \frac{h_x + h_y}{2} \approx d_p - 4 \text{ cm} \Rightarrow d_p \approx h_s + 4 = 21.8 \text{ cm}$$

Zbog svih procena koje su učinjene a nisu na strani sigurnosti (veće opterećenje i sila proboga, stvarni procenat armiranja a time i dopušteni napon smicanja verovatno manji od maksimalnog, manja statička visina od procenjene) za dalji proračun se usvaja  $d_p = 24 \text{ cm}$ .

$$g = 0.24 \times 25 + 2.0 = 8.0 \text{ kN/m}^2 \quad \Rightarrow \quad G = 1.1 \times 8.0 \times 5.0 \times 6.0 = 264 \text{ kN}$$

$$p = 8.0 \text{ kN/m}^2 \quad \Rightarrow \quad P = 1.1 \times 8.0 \times 5.0 \times 6.0 = 264 \text{ kN}$$

$$q_u = 1.6 \times g + 1.8 \times p = 1.6 \times 8.0 + 1.8 \times 8.0 = 27.2 \text{ kN/m}^2$$

### 1.5.1 Dimenzionisanje prema M - gornja zona, polutrake S<sub>1</sub> i S<sub>2</sub>

$$M_{x,u}^{S1} = 2.1 \times \bar{M}_{x,osl} = 2.1 \times \frac{q_u \times L_x^2}{10} = 2.1 \times \frac{27.2 \times 6.0^2}{10} = 205.6 \frac{\text{kNm}}{\text{m}}$$

$$k = \frac{21}{\sqrt{\frac{205.6}{2.3}}} = 2.221 \quad \Rightarrow \quad \epsilon_b/\epsilon_a = 3.5/8.828\% ; \bar{\mu} = 22.982\%$$

$$A_a = 22.982 \times 21 \times \frac{2.3}{40} = 27.75 \frac{\text{cm}^2}{\text{m}} \quad \Rightarrow \quad \text{usv. RØ 19/10 (28.4 cm}^2/\text{m)}$$

$$M_{x,u}^{S2} = 1.4 \times \bar{M}_{x,osl} = 1.4 \times \frac{27.2 \times 6.0^2}{10} = 137.1 \frac{\text{kNm}}{\text{m}}$$

$$k = \frac{21}{\sqrt{\frac{137.1}{2.3}}} = 2.720 \quad \Rightarrow \quad \epsilon_b/\epsilon_a = 2.499/10\% ; \bar{\mu} = 14.661\%$$

$$A_a = 14.661 \times 21 \times \frac{2.3}{40} = 17.70 \frac{\text{cm}^2}{\text{m}} \quad \Rightarrow \quad \text{usv. RØ 19/15 (18.9 cm}^2/\text{m)}$$

pretp.  $a_{1y} = 2 + 1.9 + 1.9/2 = 4.85 \text{ cm} \Rightarrow h_y = 24 - 4.85 = 19.15 \text{ cm}$

$$M_{y,u}^{S1} = 2.1 \times \bar{M}_{y,osl} = 2.1 \times \frac{q_u \times L_y^2}{10} = 2.1 \times \frac{27.2 \times 5.0^2}{10} = 142.8 \frac{\text{kNm}}{\text{m}}$$

$$k = \frac{19.15}{\sqrt{\frac{142.8}{2.3}}} = 2.430 \quad \Rightarrow \quad \epsilon_b/\epsilon_a = 3.127/10\% ; \bar{\mu} = 18.745\%$$

$$A_a = 18.745 \times 19.15 \times \frac{2.3}{40} = 20.64 \frac{\text{cm}^2}{\text{m}} \Rightarrow \text{usv. } RØ 19/12.5 \text{ (22.68 cm}^2/\text{m})$$

$$M_{y,u}^{S2} = 1.4 \times \bar{M}_{y,osl} = 1.4 \times \frac{27.2 \times 5.0^2}{10} = 95.2 \frac{\text{kNm}}{\text{m}}$$

$$k = \frac{19.15}{\sqrt{\frac{95.2}{2.3}}} = 2.977 \Rightarrow \epsilon_b/\epsilon_a = 2.134/10\% ; \mu = 12.091\%$$

$$A_a = 12.091 \times 19.15 \times \frac{2.3}{40} = 13.31 \frac{\text{cm}^2}{\text{m}} \Rightarrow \text{usv. } RØ 19/20 \text{ (14.18 cm}^2/\text{m})$$

### 1.5.2 Kontrola maksimalnog napona smicanja za unutrašnji stub

$$h_x = 24 - 2 - \frac{1.9}{2} = 21.05 \text{ cm} \Rightarrow h_s = \frac{21.05 + 19.15}{2} = 20.1 \text{ cm}$$

$$\tau_{\max} = \frac{264 + 264}{\pi \times (33.9 + 20.1) \times 20.1} = 0.155 \frac{\text{kN}}{\text{cm}^2}$$

$$\mu_x = \frac{A_{ax,sr}}{h_x} = \frac{28.4 + 18.9}{2 \times 21.05} = 1.12\% ; \mu_y = \frac{A_{ay,sr}}{h_y} = \frac{22.68 + 14.18}{2 \times 19.15} = 0.96\%$$

$$\mu = \frac{1.12 + 0.96}{2} = 1.04\% \Rightarrow \tau_2 = \gamma_2 \times \tau_b = 0.45 \times 1.3 \times \sqrt{1.04} \times 0.24 = 0.143 \frac{\text{kN}}{\text{cm}^2}$$

Dopušteni napon smicanja  $\tau_2$  je prekoračen. S obzirom da je debljina ploče već povećana, dopušteni napon će biti povećan usvajanjem nešto većeg procenta armiranja (polutrake  $S_1$  i  $S_2$  će biti armirane istom armaturom). Sledi:

$$\mu_x = \frac{A_{ax}}{h_x} = \frac{28.4}{21.05} = 1.35\% ; \mu_y = \frac{A_{ay}}{h_y} = \frac{22.68}{19.15} = 1.18\%$$

$$\mu = \frac{1.35 + 1.18}{2} = 1.27\% \Rightarrow \tau_2 = 0.45 \times 1.3 \times \sqrt{1.27} \times 0.24 = 0.158 \frac{\text{kN}}{\text{cm}^2} > \tau_{\max}$$

Konačno se usvaja debljina ploče  $d_p = 24 \text{ cm}$ , stubovi dimenzija  $30 \times 30 \text{ cm}$  i marka betona MB 35. Sa ovako usvojenom armaturom dopušteni napon smicanja  $\tau_1$  iznosi:

$$\tau_1 = \frac{2}{3} \times \gamma_1 \times \tau_a = \frac{2}{3} \times 1.3 \times 1.3 \times \sqrt{1.27} \times 0.09 = 0.114 \frac{\text{kN}}{\text{cm}^2} < \tau_{\max} = 0.155 \frac{\text{kN}}{\text{cm}^2}$$

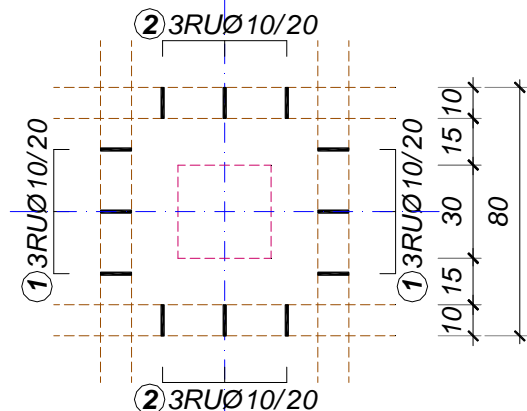
i, s obzirom da je prekoračen, potrebno je izvršiti osiguranje armaturom:

$$A_a = \frac{0.75 \times T_{\max}}{\sigma_v} = \frac{1.35 \times 528}{40} = 17.82 \text{ cm}^2$$

usvojeno: **4x3URØ 10/20**

$$(4 \times 3 \times 2 \times 0.785 = 18.85 \text{ cm}^2)$$

Detalj osiguranja uzengijama, postavljenim u skladu sa članom 220. Pravilnika BAB 87, analogan je onom u Primeru 5 i prikazan je u osnovi na skici desno.



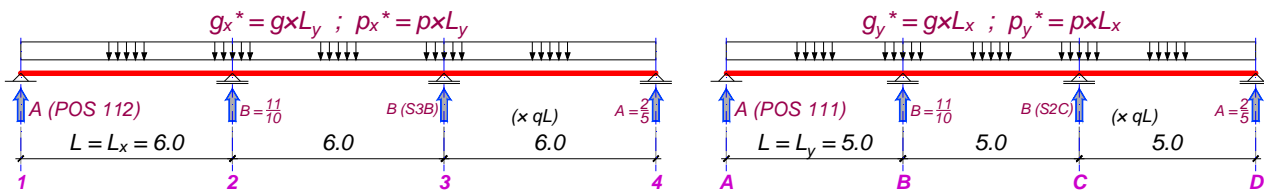
Stubovi u osama 1, 4, A i D (ivični i ugaoni stubovi) su u ovom primeru povezani ivičnim gredama, pa kod njih ne postoji problem probijanja.

### 1.5.3 Dimenzionisanje ploče

Kada je debljina ploče konačno usvojena iz uslova probijanja, može se sprovesti dimenzionisanje ostalih preseka ploče prema momentima savijanja. S obzirom da je proračun detaljno sproveden u Primeru 5, ovde će biti izostavljen.

### 1.5.4 Proračun ivičnih greda POS 111, 112

Ivične grede prihvataju opterećenje od ploče kao krajnji oslonci kontinualnih nosača sa tri jednakaka polja, opterećena raspodeljenim opterećenjem sa ploče.



Kako su svi stubovi kvadratni, dimenzija  $30 \times 30 \text{ cm}$ , usvojena je i širina greda  $b=30 \text{ cm}$ . Visina greda se obično usvaja u granicama  $L/10$  do  $L/12$ , pa je usvojeno  $d=50 \text{ cm}$ .

#### 1.5.4.1 POS 111 – grede u osama A i D

Grede POS 111 su kontinualne grede sa tri polja jednakih raspona  $L=6.0 \text{ m}$ .

a. stalno opterećenje

$$\begin{array}{lll} - \text{sopstvena težina grede} & 0.30 \times 0.50 \times 25 & = 3.75 \text{ kN/m} \\ - \text{od ploče POS 102} & A_g = 0.4 \times 8.0 \times 5.0 & = 16.00 \text{ kN/m} \\ \text{ukupno, stalno opterećenje} & g & = 19.75 \text{ kN/m} \end{array}$$

b. povremeno opterećenje  $A_p = 0.4 \times 8.0 \times 5.0 = p = 16.00 \text{ kN/m}$

$$q_u = 1.6 \times g + 1.8 \times p = 1.6 \times 19.75 + 1.8 \times 16.0 = 60.4 \text{ kN/m}$$

$$M_{u,\max} = 60.4 \times \frac{6.0^2}{8} = 271.8 \text{ kNm} ; \quad T_{u,\max} = 0.6 \times 60.4 \times 6.0 = 217.4 \text{ kN}$$

$$k = \frac{43}{\sqrt{\frac{271.8 \times 10^2}{30 \times 2.3}}} = 2.167 \Rightarrow \begin{cases} \epsilon_b / \epsilon_a = 3.5 / 8.140\% \\ \mu = 24.342\% \end{cases}$$

$$A_a = 24.342 \times \frac{30 \times 43}{100} \times \frac{2.3}{40} = 18.06 \text{ cm}^2 \Rightarrow \text{usvojeno: } \mathbf{5RØ22} \text{ (19.01 cm}^2)$$

$$\tau_{n,\max} = \frac{217.4}{30 \times 0.9 \times 43} = 0.187 \frac{\text{kN}}{\text{cm}^2} \Rightarrow \tau_{Ru} = \frac{3}{2} \times (0.187 - 0.12) = 0.101 \frac{\text{kN}}{\text{cm}^2}$$

$$\lambda = 0.6 \times 600 \times \left(1 - \frac{0.12}{0.187}\right) = 129.3 \text{ cm}$$

usvojeno:  $m = 2$ ;  $\alpha = 90^\circ$ ;  $\theta = 45^\circ$ :

$$e_u = \frac{2 \times 0.503}{30 \times 0.101} \times 40 \times (0 + 1 \times 1) = 13.3 \text{ cm} \Rightarrow \text{usvojeno: } \mathbf{URØ8/12.5} \text{ (m=2)}$$

Usvojene su pretpostavljene dimenzije grede  $b/d = 30/50 \text{ cm}$ .

### 1.5.4.2 POS 112 – grede u osama 1 i 4

Grede POS 112 su kontinualne grede sa tri polja jednakih raspona  $L=5.0\text{ m}$ .

a. stalno opterećenje

$$\begin{aligned} \text{- sopstvena težina grede} & 0.30 \times 0.50 \times 25 & = 3.75 \text{ kN/m} \\ \text{- od ploče POS 102} & A_g = 0.4 \times 8.0 \times 6.0 & = 19.20 \text{ kN/m} \\ \text{ukupno, stalno opterećenje} & g & = 22.95 \text{ kN/m} \end{aligned}$$

b. povremeno opterećenje  $A_p = 0.4 \times 8.0 \times 6.0 = p = 19.20 \text{ kN/m}$

$$q_u = 1.6 \times g + 1.8 \times p = 1.6 \times 22.95 + 1.8 \times 19.2 = 71.28 \text{ kN/m}$$

$$M_{u,\max} = 71.28 \times \frac{5.0^2}{8} = 222.8 \text{ kNm}; \quad T_{u,\max} = 0.6 \times 71.28 \times 5.0 = 213.8 \text{ kN}$$

Podrazumeva se da je sve karakteristične preseke greda potrebno dimenzionisati prema momentima savijanja i transverzalnim silama. U ovom primeru to nije učinjeno, s obzirom da je fokus na proračunu ploča direktno oslonjenih na stubove.

## 1.6 LOKALNO POVEĆANJE DEBLJINE PLOČE – FORMIRANJE KAPITELA

Dimenzije kapitela se određuju iz uslova da ne budu prekoračeni dopušteni naponi u betonu (uobičajeno je da ne bude prekoračen napon  $\tau_1$ , kako bi se izbeglo i osiguranje armaturom). Kapitel je moguće formirati tako da obuhvati **hiperbolu probijanja** – graničnu liniju dobijenu iz uslova da su naponi smicanja na proizvoljnoj udaljenosti od stuba jednaki dopuštenim:

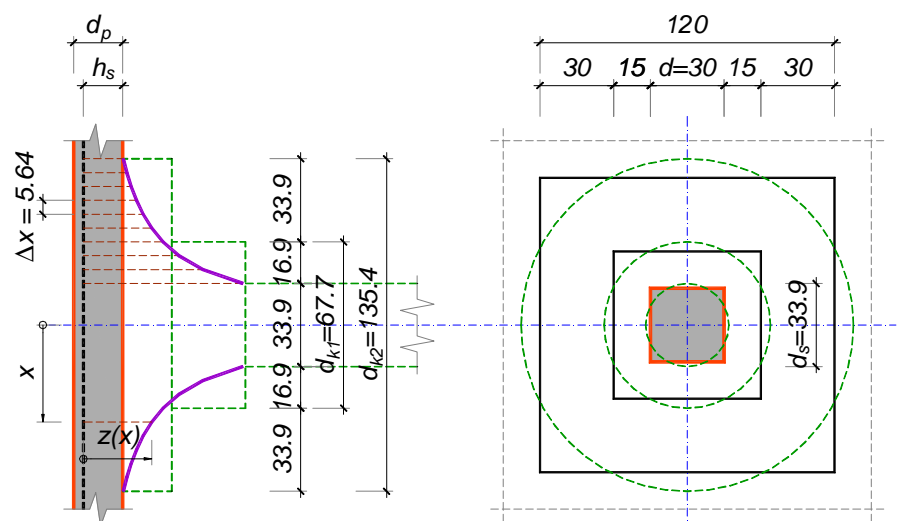
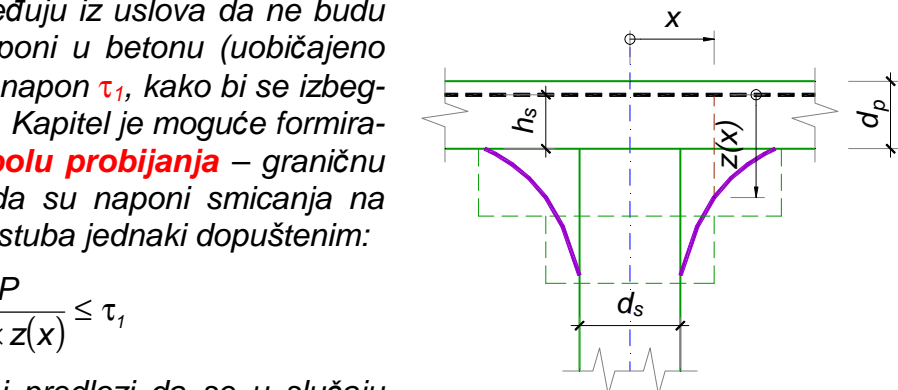
$$\tau = \frac{G+P}{O \times z(x)} = \frac{G+P}{2\pi \times x \times z(x)} \leq \tau_1$$

Mada u literaturi postoje i predlozi da se u slučaju kvadratnog stuba probijanje pretpostavi po zarubljenoj piramidi, to ovde nije učinjeno, jer se svi izrazi u propisima odnose na zarubljeni konus i ekvivalentni kružni poprečni presek.

Pretpostavljajući minimalnu vrednost dopuštenog napona smicanja  $\tau_1$  (sračunatu za minimalni procenat armiranja  $\mu=0.5\%$ ), sledi:

$$\tau_1 = \frac{2}{3} \times 1.3 \times 1.3 \times \sqrt{0.5} \times 0.09 = 0.072 \frac{\text{kN}}{\text{cm}^2} \Rightarrow z(x) = \frac{231 + 264}{2\pi \times x \times 0.072} = \frac{1099}{x}$$

$X_{kv.}$	$x$	$z$
15	16.9	64.9
20	22.6	48.7
25	28.2	38.9
30	33.9	32.5
35	39.5	27.8
40	45.1	24.3
45	50.8	21.6
50	56.4	19.5
55	62.1	17.7
60	67.7	16.0



U tabeli i na skici su prikazani hiperbola probaja (ljubičasto) i usvojeni oblik kapitela kvadratnog oblika, koji prati oblik stuba. Ordinate hiperbole probijanja  $z(x)$  su računate na svakih 5 cm od ivice stuba. Dobijene vrednosti  $d_{k1} = 67.7 \text{ cm}$  i  $d_{k2} = 135.4 \text{ cm}$  predstavljaju prečnike zamenjujućih krugova za kvadrate stranica 60 i 120 cm respektivno, kolike su usvojene dimenzije kapitela u osnovi.

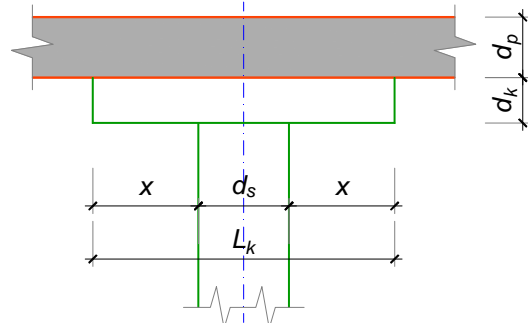
$$\Delta x = \sqrt{\frac{4}{\pi}} \times 5 = 5.64 \text{ cm} ; \quad d_{k1} = \sqrt{\frac{4}{\pi}} \times 60 = 67.7 \text{ cm} ; \quad d_{k2} = \sqrt{\frac{4}{\pi}} \times 120 = 135.4 \text{ cm}$$

### 1.6.1 Kapitel u formi jastuka – »drop panel«

Uместо usvajanja oblika i dimenzija kapitela konstrukcijom hiperbole probijanja, vrlo čest slučaj u praksi je da se formira kapitel kružnog ili pravougaonog oblika u formi jastuka konstantne debljine, kako je prikazano na skici desno.

Ukoliko je strana kapitela na spoju sa pločom:

$$L_k < 0.3 \times L_{\min} = 0.3 \times 500 = 150 \text{ cm}$$



proračun se može sprovesti, kao i u prethodnim primjerima, metodom zamenjujućih kontinualnih grednih nosača (član 219. PBAB 87), jer se može smatrati da je promena krutosti nosača neznatna i da prisustvo kapitela neće bitno promeniti veličinu momenata savijanja u ploči.

#### 1.6.1.1 Analiza opterećenja

S obzirom da je težina kapitela zanemarljiva, a da je zadržana debljina ploče  $d_p = 20 \text{ cm}$ , analiza opterećenja je data u tački 1.2.

$$q_u = 1.6 \times g + 1.8 \times p = 1.6 \times 7.0 + 1.8 \times 8.0 = 25.6 \text{ kN/m}^2$$

#### 1.6.1.2 Dimenzionisanje ploče u zoni stuba – poduzni pravac

$$M_{x,u}^{S1} = 2.1 \times \bar{M}_{x,osl} = 2.1 \times \frac{25.6 \times 6.0^2}{10} = 193.5 \frac{\text{kNm}}{\text{m}}$$

$$k = 1.853 \Rightarrow A_a = 34.84 \text{ cm}^2/\text{m} \Rightarrow \text{usv. } RØ22/10 \text{ (38.01 cm}^2/\text{m)}$$

$$M_{x,u}^{S2} = 1.4 \times \bar{M}_{x,osl} = 1.4 \times \frac{25.6 \times 6.0^2}{10} = 129.0 \frac{\text{kNm}}{\text{m}}$$

$$\text{stv. } a_{1x} = 2.2 + 2.2/2 = 3.3 \text{ cm} \Rightarrow h_x = 20 - 3.3 = 16.7 \text{ cm}$$

$$k = 2.230 \Rightarrow A_a = 21.88 \text{ cm}^2/\text{m} \Rightarrow \text{usv. } RØ22/15 \text{ (25.34 cm}^2/\text{m)}$$

#### 1.6.1.3 Dimenzionisanje ploče u zoni stuba – poprečni pravac

$$a_{1y} = 2.2 + 2.2 + 1.9/2 = 5.35 \text{ cm} \Rightarrow h_y = 20 - 5.35 = 14.65 \text{ cm}$$

$$M_{y,u}^{S1} = 2.1 \times \bar{M}_{y,osl} = 2.1 \times \frac{25.6 \times 5.0^2}{10} = 134.4 \frac{\text{kNm}}{\text{m}}$$

$$k = 1.916 \Rightarrow A_a = 27.57 \text{ cm}^2/\text{m} \Rightarrow \text{usv. } RØ19/10 \text{ (28.35 cm}^2/\text{m)}$$

$$M_{y,u}^{S2} = 1.4 \times \bar{M}_{y,osl} = 1.4 \times \frac{25.6 \times 5.0^2}{10} = 89.6 \frac{\text{kNm}}{\text{m}}$$

$$k = 2.347 \Rightarrow A_a = 17.07 \text{ cm}^2/\text{m} \Rightarrow \text{usv. } RØ19/15 \text{ (18.90 cm}^2/\text{m)}$$

#### 1.6.1.4 Određivanje debljine kapitela

Debljina ploče (ukupna dimenzija  $d_k + d_p$  na skici desno) se usvaja tako da nije potrebno osiguranje armaturom, odnosno tako da je zadovoljen dopušteni napon  $\tau_1$  u preseku I-I. Dopušteni napon je funkcija procenta armiranja  $\mu$ , koji zavisi od površine armature (sračunata u 1.6.1.2 i 1.6.1.3) i zasad nepoznate statičke visine  $h_s'$ . Postupak je iterativan i može se sprovesti:

- probanjem – usvajanjem debljine ploče, nakon čega se sračunava napon smicanja  $\tau_{\max}$  i dopušteni napon  $\tau_1$ . Postupak se ponavlja do zadovoljenja relacije

$$\tau_{\max} = \frac{G + P}{\pi \times (d_s + h_s') \times h_s'} \leq \tau_1$$

- pretpostavljanjem procenta armiranja  $\mu$  (zapravo, dopuštenog napona  $\tau_1$ ) iz koga se sračunava potrebna debljina ploče  $h_s'$ . Za tako dobijenu vrednost statičke visine proverava se potrebna površina armature za savijanje i vrše potrebne korekcije do postizanja željene tačnosti.

Ovde će se proračun sprovesti na drugi način. Ukoliko se za  $\mu$  usvoji minimalna vrednost, dobiće se minimalni dopušteni napon i maksimalna moguća debljina ploče:

$$\tau_1 = \frac{2}{3} \times 1.3 \times 1.3 \times \sqrt{0.5} \times 0.09 = 0.072 \frac{kN}{cm^2}$$

$$\tau_{\max} = \frac{231 + 264}{\pi \times (33.9 + h_s') \times h_s'} \leq \tau_1 = 0.072 \Rightarrow (33.9 + h_s') \times h_s' \geq \frac{495}{\pi \times 0.072} = 2197$$

$$h_s' = \frac{-33.9 + \sqrt{33.9^2 + 4 \times 2197}}{2} = 32.9 \text{ cm}$$

Procenat armiranja će biti određen sa srednjom statičkom visinom:

$$\mu_x = \frac{38.01 + 25.34}{2 \times 32.9} = 0.96\% \quad ; \quad \mu_y = \frac{28.35 + 18.90}{2 \times 32.9} = 0.72\%$$

$$\mu = \frac{0.96 + 0.72}{2} = 0.84\% \Rightarrow \tau_1 = \frac{2}{3} \times 1.3 \times 1.3 \times \sqrt{0.84} \times 0.09 = 0.093 \frac{kN}{cm^2}$$

Sa ovako sračunatim dopuštenim naponom potrebna statička visina iznosi:

$$(33.9 + h_s') \times h_s' \geq \frac{495}{\pi \times 0.093} = 1695 \Rightarrow h_s' = \frac{-33.9 + \sqrt{33.9^2 + 4 \times 1695}}{2} = 27.6 \text{ cm}$$

Na potpuno isti način, sledi:

$$\mu = \frac{38.01 + 25.34 + 28.35 + 18.90}{4 \times 27.6} = 1.0\% \Rightarrow \tau_1 = 0.102 \frac{kN}{cm^2}$$

$$(33.9 + h_s') \times h_s' \geq \frac{495}{\pi \times 0.102} = 1552 \Rightarrow h_s' = \frac{-33.9 + \sqrt{33.9^2 + 4 \times 1552}}{2} = 25.9 \text{ cm}$$

Dalje iteracije postaju izlišne i usvaja se  $d_k + d_p = 10 + 20 = 30 \text{ cm}$ . Sa ovom dimenzijom se vrši provera stvarnog napona:

$$h_x = 30 - \left( 2.2 + \frac{2.2}{2} \right) = 26.7 \text{ cm} \Rightarrow \mu_x = \frac{38.01 + 25.34}{2 \times 26.7} = 1.19\%$$

$$h_y = 30 - \left( 2.2 + 2.2 + \frac{1.9}{2} \right) = 24.65 \text{ cm} \Rightarrow \mu_y = \frac{28.35 + 18.90}{2 \times 24.65} = 0.96\%$$

$$\mu = \frac{1.19 + 0.96}{2} = 1.07\% \Rightarrow \tau_1 = \frac{2}{3} \times 1.3 \times 1.3 \times \sqrt{1.07} \times 0.09 = 0.105 \frac{\text{kN}}{\text{cm}^2}$$

$$h_s' = \frac{26.7 + 24.65}{2} = 25.7 \text{ cm} \Rightarrow \tau_{\max} = \frac{495}{\pi \times (33.9 + 25.7) \times 25.7} = 0.103 \frac{\text{kN}}{\text{cm}^2} < \tau_1$$

Kako je napon  $\tau_1$  zadovoljen, obezbeđena je sigurnost u odnosu na probijanje.

#### 1.6.1.5 Određivanje dimenzije kapitela u osnovi

Sledeći dosad izneto, potrebno je pronaći presek u kome kapitel posmatran kao »stub« ekvivalentnog prečnika  $d_{sk}$  ne probija ploču debljine  $d_p$  (presek II-II na skici desno), odnosno u kome je zadovoljen dopušteni napon  $\tau_1$ . Dopušteni napon zavisi od površine armature (sračunata u 1.6.1.2 i 1.6.1.3) i poznate staticke visine  $h_s''$ :

$$h_x = 20 - \left( 2.2 + \frac{2.2}{2} \right) = 16.7 \text{ cm}$$

$$h_y = 20 - \left( 2.2 + 2.2 + \frac{1.9}{2} \right) = 14.65 \text{ cm}$$

$$\mu_x = \frac{38.01 + 25.34}{2 \times 16.7} = 1.90\% ; \quad \mu_y = \frac{28.35 + 18.90}{2 \times 14.65} = 1.61\%$$

$$\mu = \frac{1.90 + 1.61}{2} = 1.75\% > 1.5\% \Rightarrow \tau_1 = \frac{2}{3} \times 1.3 \times 1.3 \times \sqrt{1.5} \times 0.09 = 0.124 \frac{\text{kN}}{\text{cm}^2}$$

$$h_s'' = \frac{16.7 + 14.65}{2} = 15.7 \text{ cm} \Rightarrow \tau_{\max} = \frac{495}{\pi \times (L_k + 15.7) \times 15.7} \leq \tau_1$$

$$d_{sk} = \frac{495}{\pi \times 0.124 \times 15.7} - 15.7 = 65.3 \text{ cm}$$

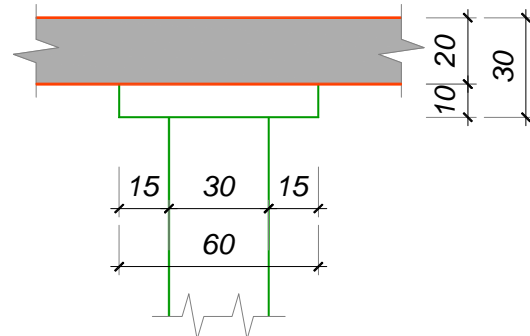
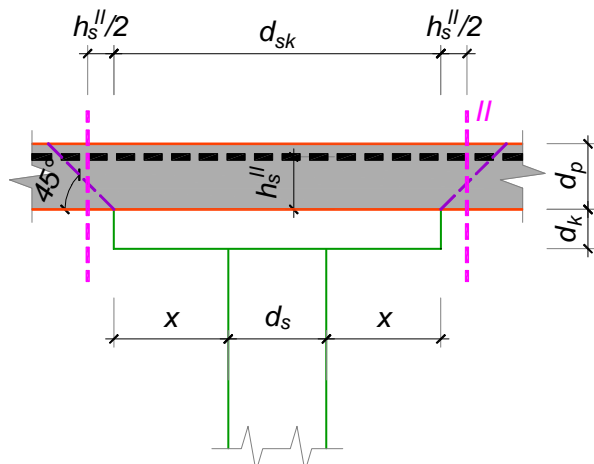
Zamenjujući prečnik kapitela je  $d_{sk} = 65.3 \text{ cm}$ . Kako je usvojen kapitel kvadratnog preseka, potrebna dimenzija je:

$$d_{sk} = \sqrt{\frac{4}{\pi} \times b_k^2} \Rightarrow b_k = \sqrt{\frac{\pi}{4}} \times 65.3 = 57.8 \text{ cm}$$

Usvojen je kapitel dimenzija  $60 \times 60 \text{ cm}$  u osnovi, ukupne debljine  $30 \text{ cm}$ , prema skici.

Kako je dimenzija kapitela u osnovi  $b_k = 60 \text{ cm}$  manja od  $0.3 \times L_{\min} = 150 \text{ cm}$ , proračun je dopušteno sprovesti metodom zamenjujućih traka konstantnog preseka, što je i učinjeno.

Detaljnije informacije o proračunu ploča u odnosu na probijanje date su u članovima 220 do 222 Priručnika za primenu Pravilnika BAB 87 (Tom 1, strane 623-629).



### 1.6.2 Varijanta sa pretpostavljanjem dimenzija kapitela

U praktičnim proračunima dimenzije kapitela se mnogo češće usvajaju na osnovu iskustva, raspoložive visine ili određenih preporuka, a zatim se vrši provera napona smicanja i eventualna korekcija pretpostavljenih veličina.

Pravilnik BAB 87 u članu 222, slika 57, preporučuje da debљina kapitela, ukoliko se izvodi kao »drop panel«, ne bude manja od usvojene debљine ploče ( $d_k \geq d_p$ , skica desno).

Poštujući ovu preporuku, za debљinu kapitela usvojeno je  $d_k = 20 \text{ cm}$ . Provera smičućih napona u karakterističnim preseцима biće sprovedena prema članu 220 PBAB 87, u zavisnosti od usvojenih dimenzija kapitela u osnovi.

Pretpostavlja se da će kapitel biti kvadratnog oblika, dimenzija  $60 \times 60 \text{ cm}$ . Sledi:

$$d_s = \sqrt{\frac{4}{\pi}} \times 30 = 33.9 \text{ cm}$$

$$h_s = \frac{16.7 + 14.65}{2} = 15.7 \text{ cm}$$

Kapitel se zamenjuje ekvivalentnim kružnim presekom na isti način kao i stub, pa je:

$$d_s + 2 \times L_s = \sqrt{\frac{4}{\pi}} \times 60 = 67.7 \text{ cm}$$

$$L_s = \frac{1}{2} \times (67.7 - 33.9) = 16.9 \text{ cm}$$

Kako je  $L_s = 16.9 < d_k = 20 \text{ cm}$ , sledi:

$$d_{sa} = d_s + 2 \times L_s + h_s$$

$$d_{sa} = 67.7 + 15.7 = 83.4 \text{ cm}$$

Smičući napon u preseku 1-1 je:

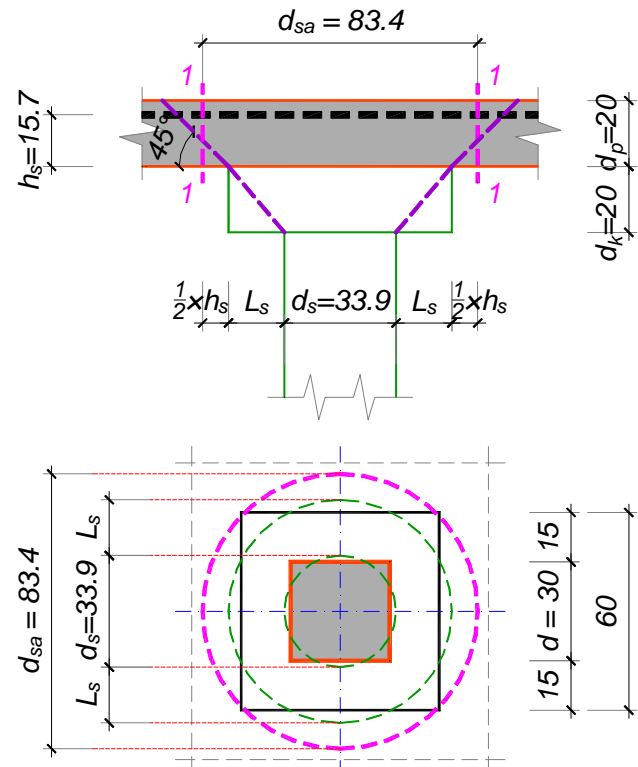
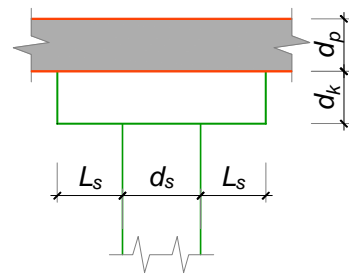
$$\tau_{max} = \frac{495}{\pi \times 83.4 \times 15.7} = 0.121 \frac{\text{kN}}{\text{cm}^2}$$

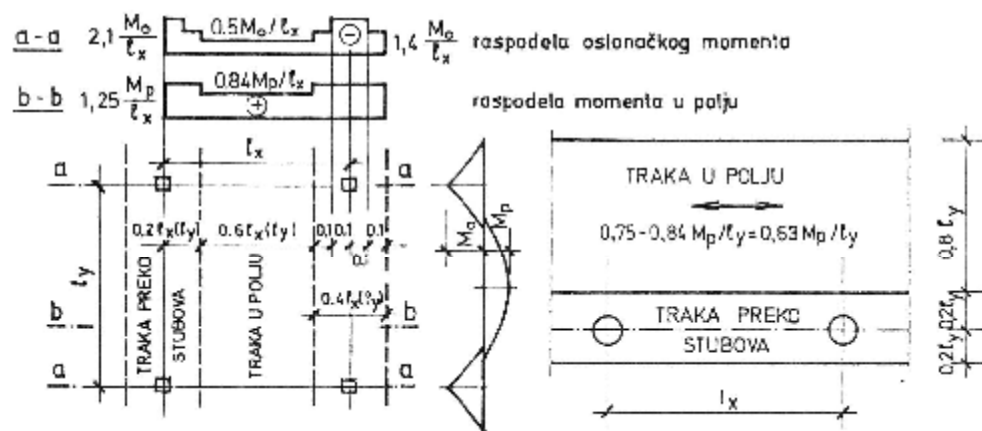
Dopušteni napon  $\tau_1 = 0.124 \text{ kN/cm}^2$  je sračunat u tački 1.6.1.5. Kako ova vrednost nije prekoračena, nije potrebna armatura za osiguranje od probaja. U protivnom, bilo bi potrebno povećati dimenzije kapitela u osnovi ili povećati debљinu do zadovoljenja napona  $\tau_1$ .

### 1.7 DIMENZIONISANJE PLOČE

Nakon provere probaja i usvajanja konačnih dimenzija ploče i stubova, proračun se završava dimenzionisanjem ploče prema momentima savijanja. U Primeru 5 je proračun detaljno sproveden za ploču direktno oslonjenu na 16 stubova, pa je glavna razlika u odnosu na taj slučaj tretiranje trake uz ivične grede.

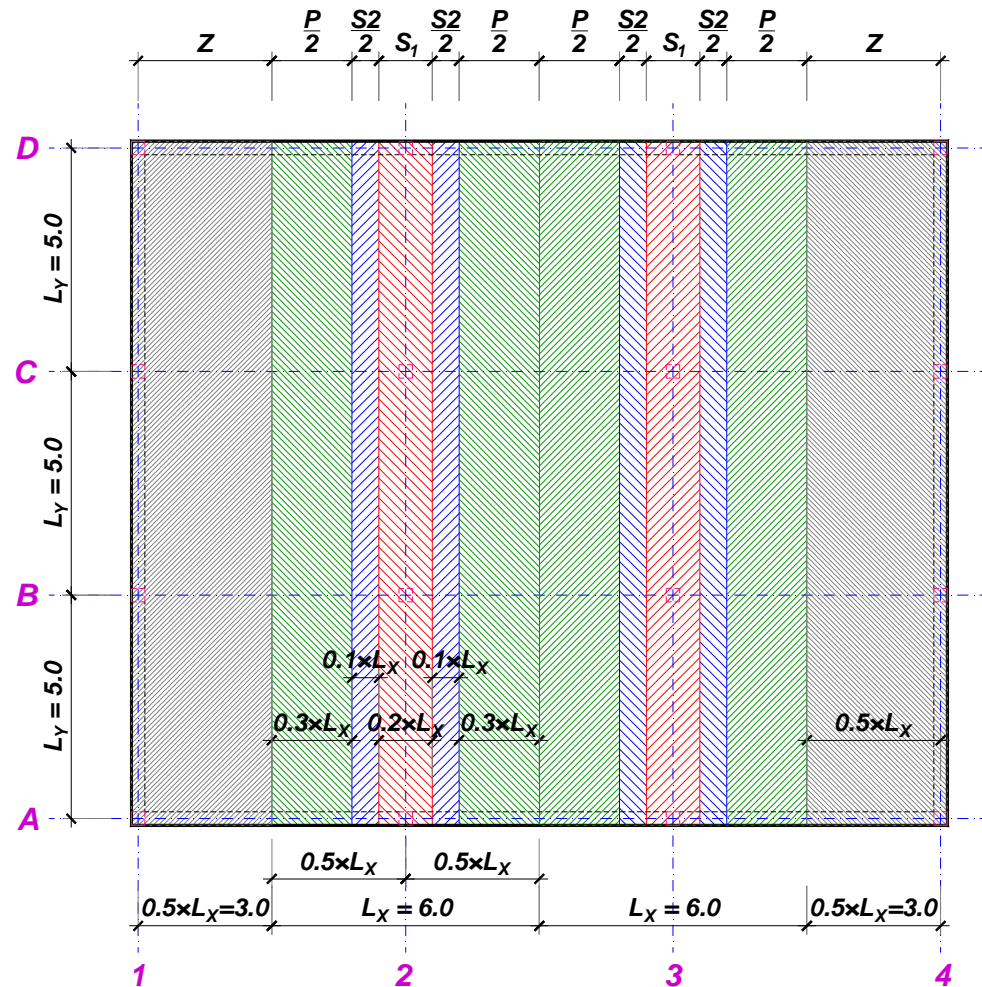
U Priručniku za primenu Pravilnika za beton i armirani beton, u delu koji se odnosi na tumačenje člana 219 Pravilnika, Tom 1, str. 611, definisan je staticki tretman ovog dela ploče: »Ako se ploča po ivici oslanja linijski na zid ili podvlaku, tada se dimenzionisanje preseka za traku u krajnjem polju paralelnu osloničkoj ivici sprovodi u odnosu na 75% momenta u polju, tj. na iznos  $0.63 \times M_{px}/L_y$ , odnosno  $0.63 \times M_{py}/L_x$ , slika 219/2.«.





Slika 219/2 Smanjenje momenta savijanja u ivičnoj traci kod kontinualnog (linijskog) lanjanja ivica ploče

Iz prethodne preporuke se može zaključiti da je traku uz zid, odnosno ivičnu gredu, na širini od  $0.8 \times L$  potrebno armirati samo u donjoj zoni, što prosto ne odgovara dijagramima uticaja dobijenim iz referentnih programskih paketa (Tower, SAN i slično), kojima je proračunat veliki broj izvedenih objekata. Stoga se, umesto preporuke definisane u pojašnjenuju člana 219 PBAB, predlaže se da se podela na trake izvrši na sledeći način:



Dakle, da se u delu krajnjih polja uz linijske oslonce formira, uz polutraku  $S_2$ , traka  $P/2$  (kao u srednjem polju, i pozitivni i negativni momenti savijanja), širine  $0.3 \times L_x$  odnosno  $0.3 \times L_y$  a preostali deo, širine  $0.5 \times L_x$  odnosno  $0.5 \times L_y$  armira samo u donjoj zoni, sračunatim momentima  $0.63 \times M_{px}/L_y$ , odnosno  $0.63 \times M_{py}/L_x$ . Ovakva raspodela momenata savijanja bolje odgovara numerički dobijenim vrednostima.

### 1.7.1 Dimenzionisanje – poduzni pravac

Granični računski momenti savijanja po trakama su:

a. negativni (oslonački) momenti savijanja

- polutraka  $S_1$ :  $M_1^{S_1} = 2.1 \times M_1 / L_y = 2.1 \times 25.6 \times 6^2 / 10 = 193.5 \text{ kNm/m}$
- polutraka  $S_2$ :  $M_1^{S_2} = 1.4 \times M_1 / L_y = 1.4 \times 25.6 \times 6^2 / 10 = 129.0 \text{ kNm/m}$
- traka u polju:  $M_1^P = 0.5 \times M_1 / L_y = 0.5 \times 25.6 \times 6^2 / 10 = 46.1 \text{ kNm/m}$

b. pozitivni (u polju) momenti savijanja

krajnja polja:

- polutrake  $S_1, S_2$ :  $M_{0-1}^S = 1.25 \times M_{0-1} / L_y = 1.25 \times 0.08 \times 25.6 \times 6^2 = 92.2 \text{ kNm/m}$
- traka u polju:  $M_{0-1}^P = 0.84 \times M_{0-1} / L_y = 0.84 \times 0.08 \times 25.6 \times 6^2 = 61.4 \text{ kNm/m}$
- traka uz gredu:  $M_{0-1}^Z = 0.63 \times M_{0-1} / L_y = 0.63 \times 0.08 \times 25.6 \times 6^2 = 46.1 \text{ kNm/m}$

srednje polje:

- polutrake  $S_1, S_2$ :  $M_{1-2}^S = 1.25 \times M_{1-2} / L_y = 1.25 \times 0.025 \times 25.6 \times 6^2 = 28.8 \text{ kNm/m}$
- traka u polju:  $M_{1-2}^P = 0.84 \times M_{1-2} / L_y = 0.84 \times 0.025 \times 25.6 \times 6^2 = 19.2 \text{ kNm/m}$
- traka uz gredu:  $M_{1-2}^Z = 0.63 \times M_{1-2} / L_y = 0.63 \times 0.025 \times 25.6 \times 6^2 = 14.4 \text{ kNm/m}$

### 1.7.2 Dimenzionisanje - gornja zona

Dimenzionisanje oslonačkih preseka u polutrakama  $S_1$  i  $S_2$  je sprovedeno u tački 1.6.1.2. Potrebno je dimenzionisati samo oslonački deo trake P:

$$k = \frac{16.7}{\sqrt{\frac{46.1}{2.3}}} = 3.731 \quad \Rightarrow \quad \varepsilon_b / \varepsilon_a = 1.528 / 10\% ; \bar{\mu} = 7.546\%$$

$$A_a^P = 7.546 \times 16.7 \times \frac{2.3}{40} = 7.25 \frac{\text{cm}^2}{\text{m}} \quad \Rightarrow \quad \text{usv. } RØ 14/20 \text{ (7.70 cm}^2/\text{m)}$$

### 1.7.3 Dimenzionisanje - donja zona

#### 1.7.3.1 krajnja polja, traka S

$$k = \frac{17.3}{\sqrt{\frac{92.2}{2.3}}} = 2.733 \quad \Rightarrow \quad \varepsilon_b / \varepsilon_a = 2.477 / 10\% ; \bar{\mu} = 14.513\%$$

$$A_a^S = 14.513 \times 17.3 \times \frac{2.3}{40} = 14.44 \frac{\text{cm}^2}{\text{m}} \quad \Rightarrow \quad \text{usv. } RØ 14/10 \text{ (15.39 cm}^2/\text{m)}$$

#### 1.7.3.2 krajnja polja, traka P

$$k = \frac{17.3}{\sqrt{\frac{61.4}{2.3}}} = 3.347 \quad \Rightarrow \quad \varepsilon_b / \varepsilon_a = 1.779 / 10\% ; \bar{\mu} = 9.451\%$$

$$A_a^P = 9.451 \times 17.3 \times \frac{2.3}{40} = 9.40 \frac{\text{cm}^2}{\text{m}} \quad \Rightarrow \quad \text{usv. } RØ 14/15 \text{ (10.26 cm}^2/\text{m)}$$

#### 1.7.3.3 krajnja polja, traka Z

$$k = \frac{17.3}{\sqrt{\frac{46.1}{2.3}}} = 3.865 \quad \Rightarrow \quad \varepsilon_b / \varepsilon_a = 1.457 / 10\% ; \bar{\mu} = 7.015\%$$

$$A_a^Z = 7.015 \times 17.3 \times \frac{2.3}{40} = 6.98 \frac{\text{cm}^2}{\text{m}} \quad \Rightarrow \quad \text{usv. } RØ 14/20 \text{ (7.70 cm}^2/\text{m)}$$

### 1.7.3.4 srednje polje, traka S

$$k = \frac{17.3}{\sqrt{\frac{28.8}{2.3}}} = 4.889 \quad \Rightarrow \quad \varepsilon_b/\varepsilon_a = 1.082/10\% ; \bar{\mu} = 4.333\%$$

$$A_a^S = 4.333 \times 17.3 \times \frac{2.3}{40} = 4.31 \frac{cm^2}{m} \quad \Rightarrow \quad usv. RØ8/10 (5.03 cm^2/m)$$

### 1.7.3.5 srednje polje, traka P

$$k = \frac{17.3}{\sqrt{\frac{19.2}{2.3}}} = 5.988 \quad \Rightarrow \quad \varepsilon_b/\varepsilon_a = 0.852/10\% ; \bar{\mu} = 2.867\%$$

$$A_a^P = 2.867 \times 17.3 \times \frac{2.3}{40} = 2.85 \frac{cm^2}{m} \quad \Rightarrow \quad usv. RØ8/15 (3.35 cm^2/m)$$

### 1.7.3.6 srednje polje, traka Z

$$k = \frac{17.3}{\sqrt{\frac{14.4}{2.3}}} = 6.914 \quad \Rightarrow \quad \varepsilon_b/\varepsilon_a = 0.723/10\% ; \bar{\mu} = 2.142\%$$

$$A_a^Z = 2.142 \times 17.3 \times \frac{2.3}{40} = 2.13 \frac{cm^2}{m} > A_{a,min} \Rightarrow \quad usv. RØ8/20 (2.51 cm^2/m)$$

## 1.8 DIMENZIONISANJE PLOČE – POPREČNI PRAVAC

Granični računski momenti savijanja po trakama su:

### a. negativni (oslonački) momenti savijanja

- polutraka  $S_1$ :  $M_1^{S1} = 2.1 \times M_1/L_x = 2.1 \times 25.6 \times 5^2 / 10 = 134.4 \text{ kNm/m}$
- polutraka  $S_2$ :  $M_1^{S2} = 1.4 \times M_1/L_x = 1.4 \times 25.6 \times 5^2 / 10 = 89.6 \text{ kNm/m}$
- traka u polju:  $M_1^P = 0.5 \times M_1/L_x = 0.5 \times 25.6 \times 5^2 / 10 = 32.0 \text{ kNm/m}$

### b. pozitivni (u polju) momenti savijanja

krajnja polja:

- polutrake  $S_1, S_2$ :  $M_{0-1}^S = 1.25 \times M_{0-1}/L_x = 1.25 \times 0.08 \times 25.6 \times 5^2 = 64.0 \text{ kNm/m}$
- traka u polju:  $M_{0-1}^P = 0.84 \times M_{0-1}/L_x = 0.84 \times 0.08 \times 25.6 \times 5^2 = 42.7 \text{ kNm/m}$
- traka uz gredu:  $M_{0-1}^Z = 0.63 \times M_{0-1}/L_x = 0.63 \times 0.08 \times 25.6 \times 5^2 = 32.0 \text{ kNm/m}$

srednje polje:

- polutrake  $S_1, S_2$ :  $M_{1-2}^S = 1.25 \times M_{1-2}/L_x = 1.25 \times 0.025 \times 25.6 \times 5^2 = 20.0 \text{ kNm/m}$
- traka u polju:  $M_{1-2}^P = 0.84 \times M_{1-2}/L_x = 0.84 \times 0.025 \times 25.6 \times 5^2 = 13.3 \text{ kNm/m}$
- traka uz gredu:  $M_{1-2}^Z = 0.63 \times M_{1-2}/L_x = 0.63 \times 0.025 \times 25.6 \times 5^2 = 10.0 \text{ kNm/m}$

### 1.8.1 Dimenzionisanje - gornja zona

Dimenzionisanje oslonačkih preseka u polutrakama  $S_1$  i  $S_2$  je sprovedeno u tački 1.6.1.3. Potrebno je dimenzionisati samo oslonački deo trake  $P$ :

$$a_{1y} = 2.2 + 2.2 + 1.9/2 = 5.35 \text{ cm} \quad \Rightarrow \quad h_y = 20 - 5.35 = 14.65 \text{ cm}$$

$$k = \frac{14.65}{\sqrt{\frac{32.0}{2.3}}} = 3.928 \quad \Rightarrow \quad \varepsilon_b/\varepsilon_a = 1.426/10\% ; \bar{\mu} = 6.787\%$$

$$A_a^P = 6.787 \times 14.65 \times \frac{2.3}{40} = 5.72 \frac{cm^2}{m} \quad \Rightarrow \quad usv. RØ12/20 (5.65 cm^2/m)$$

### 1.8.2 Dimenzionisanje - donja zona

$$a_{1y} = 2.0 + 1.4 + 1.2/2 = 4.0 \text{ cm} \quad \Rightarrow \quad h_y = 20 - 4.0 = 16.0 \text{ cm}$$

#### 1.8.2.1 krajnja polja, traka S

$$k = \frac{16.0}{\sqrt{\frac{64.0}{2.3}}} = 3.033 \quad \Rightarrow \quad \varepsilon_b/\varepsilon_a = 2.069/10\% ; \bar{\mu} = 11.621\%$$

$$A_a^S = 11.621 \times 16.0 \times \frac{2.3}{40} = 10.69 \frac{\text{cm}^2}{\text{m}} \quad \Rightarrow \quad \text{usv. } RØ 12/10 \text{ (11.31 cm}^2/\text{m)}$$

#### 1.8.2.2 krajnja polja, traka P

$$k = \frac{16.0}{\sqrt{\frac{42.7}{2.3}}} = 3.715 \quad \Rightarrow \quad \varepsilon_b/\varepsilon_a = 1.537/10\% ; \bar{\mu} = 7.613\%$$

$$A_a^P = 7.613 \times 16.0 \times \frac{2.3}{40} = 7.00 \frac{\text{cm}^2}{\text{m}} \quad \Rightarrow \quad \text{usv. } RØ 12/15 \text{ (7.54 cm}^2/\text{m)}$$

#### 1.8.2.3 krajnja polja, traka Z

$$k = \frac{16.0}{\sqrt{\frac{32.0}{2.3}}} = 4.290 \quad \Rightarrow \quad \varepsilon_b/\varepsilon_a = 1.273/10\% ; \bar{\mu} = 5.662\%$$

$$A_a^Z = 5.662 \times 16.0 \times \frac{2.3}{40} = 5.21 \frac{\text{cm}^2}{\text{m}} \quad \Rightarrow \quad \text{usv. } RØ 12/20 \text{ (5.65 cm}^2/\text{m)}$$

#### 1.8.2.4 srednje polje, traka S

$$k = \frac{16.0}{\sqrt{\frac{20.0}{2.3}}} = 5.426 \quad \Rightarrow \quad \varepsilon_b/\varepsilon_a = 0.956/10\% ; \bar{\mu} = 3.503\%$$

$$A_a^S = 3.503 \times 16.0 \times \frac{2.3}{40} = 3.22 \frac{\text{cm}^2}{\text{m}} \quad \Rightarrow \quad \text{usv. } RØ 8/15 \text{ (3.35 cm}^2/\text{m)}$$

#### 1.8.2.5 srednje polje, traka P

$$k = \frac{16.0}{\sqrt{\frac{13.3}{2.3}}} = 6.645 \quad \Rightarrow \quad \varepsilon_b/\varepsilon_a = 0.756/10\% ; \bar{\mu} = 2.321\%$$

$$A_a^P = 2.321 \times 16.0 \times \frac{2.3}{40} = 2.14 \frac{\text{cm}^2}{\text{m}} \quad \Rightarrow \quad \text{usv. } RØ 8/20 \text{ (2.51 cm}^2/\text{m)}$$

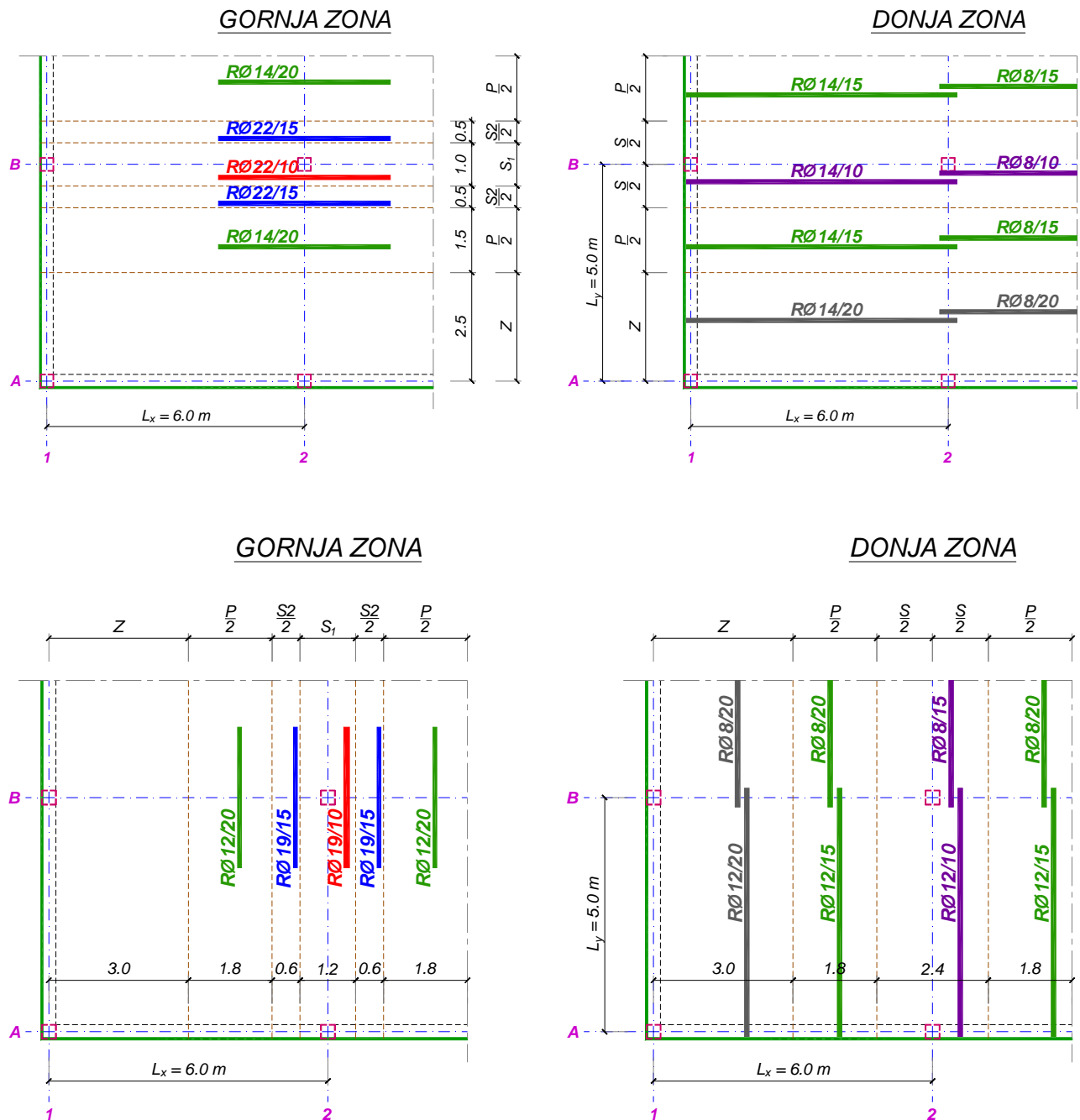
#### 1.8.2.6 srednje polje, traka Z

$$k = \frac{16.0}{\sqrt{\frac{10.0}{2.3}}} = 7.673 \quad \Rightarrow \quad \varepsilon_b/\varepsilon_a = 0.643/10\% ; \bar{\mu} = 1.734\%$$

$$A_{a,\min} = 0.1 \times \frac{b \times d}{100} = 0.1 \times \frac{100 \times 20}{100} = 2.0 \frac{\text{cm}^2}{\text{m}}$$

$$A_a^Z = 1.734 \times 16.0 \times \frac{2.3}{40} = 1.60 \frac{\text{cm}^2}{\text{m}} < A_{a,\min} \Rightarrow \quad \text{usv. } RØ 8/20 \text{ (2.51 cm}^2/\text{m})$$

Usvojena armatura u oba pravca je šematski prikazana na donjim skicama (prikazana je četvrtina ploče u osnovi). Nedostajuća podeona armatura u gornjoj zoni usvojena je kod crtanja plana armature, kao minimalno 20% staticki potrebne glavne armature. Isto tako, nije prikazana potrebna armatura u gornjoj zoni upravno na ivične grede (član 209 PBAB).



Kao ilustracija izrečenog u tački 1.7 o armiranju trake uz ivičnu gredu ili zid, priloženi su dijagrami momenata savijanja  $M_x$  i  $M_y$  u dva ortogonalna pravca i dijagram vertikalnih pomeranja za ploču koja je u podužnom pravcu oslonjena na stubove, a u poprečnom i na AB zidove u osama 1 i 4. Uticaji su sračunati pomoću programskog paketa »Tower 6«. U podužnom pravcu (momenti  $M_x$ ) se vidi da se i u osi D (preko stubova) dobijaju slične vrednosti momenata savijanja kao i preko srednjih stubova u osi C. Na srednjem dijagramu (momenti  $M_y$ ) se vidi da u krajnjem levom preseku praktično nema negativnih momenata savijanja, a u krajnjem desnom ima (presek koji bi odgovarao traci »P« između stubova u osi 3 i zida u osi 4). Isto tako, vidi se da je raspodela momenata savijanja preko srednjih stubova praktično ista u oba pravca.

